

地下埋設式 2.9t 縦型バルク貯槽の発生能力

- 付表 2.16, 付図 2.16 2.9t 縦型, 充填時組成 C_3H_8 : 90mol%, 地中温度: $10^{\circ}C$, 充填時液温: $10^{\circ}C$
 付表 2.17, 付図 2.17 2.9t 縦型, 充填時組成 C_3H_8 : 90mol%, 地中温度: $5^{\circ}C$, 充填時液温: $5^{\circ}C$
 付表 2.18, 付図 2.18 2.9t 縦型, 充填時組成 C_3H_8 : 90mol%, 地中温度: $0^{\circ}C$, 充填時液温: $0^{\circ}C$

付表 2.16 2.9t 縦型, 充填時組成 C_3H_8 : 90mol%, 地中温度: $10^{\circ}C$, 充填時液温: $10^{\circ}C$

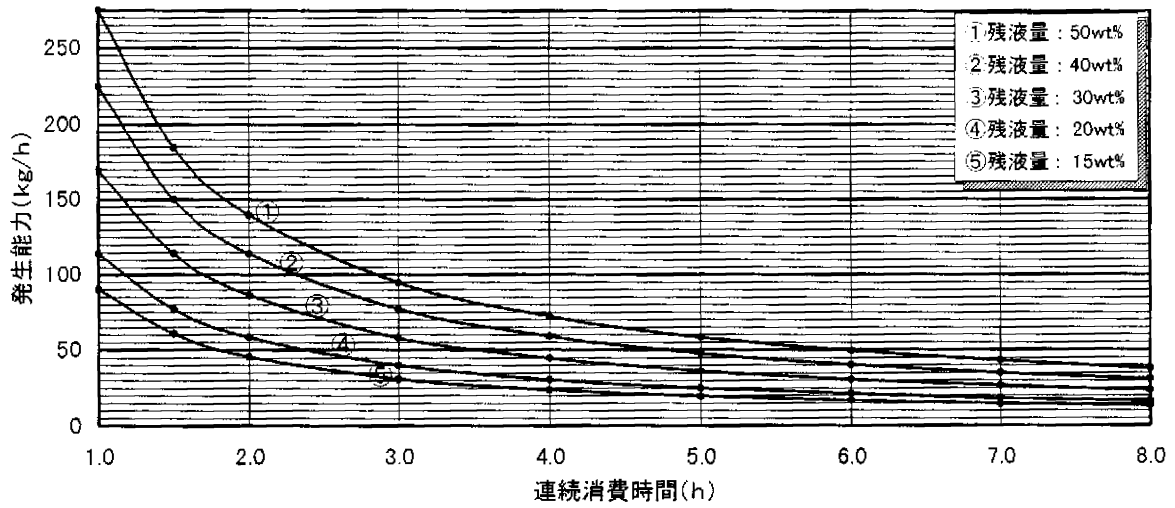
充填時液相 プロパン分 (mol%)	地中 温度 ($^{\circ}C$)	充填 液温 ($^{\circ}C$)	連続消 費時間 (h)	残液量15wt%		残液量20wt%		残液量30wt%		残液量40wt%		残液量50wt%	
				開始 ($^{\circ}C$)	発生能力 (kg/h)	開始 ($^{\circ}C$)	発生能力 (kg/h)	開始 ($^{\circ}C$)	発生能力 (kg/h)	開始 ($^{\circ}C$)	発生能力 (kg/h)	開始 ($^{\circ}C$)	発生能力 (kg/h)
90	10	10	1.0	-1	90.2	-5	113.9	-7	169.2	-8	224.7	-12	274.9
			1.5	-1	60.9	-5	76.8	-7	114.0	-9	150.2	-12	184.8
			2.0	-2	45.4	-5	58.3	-7	86.4	-9	113.7	-12	139.8
			3.0	-2	31.0	-5	39.7	-8	58.1	-9	77.3	-12	94.8
			4.0	-2	23.8	-5	30.5	-8	44.5	-9	59.0	-12	72.3
			5.0	-2	19.5	-5	24.9	-9	35.9	-10	47.7	-13	58.3
			6.0	-2	16.6	-5	21.2	-9	30.5	-11	40.1	-13	49.4
			7.0	-2	14.6	-6	18.3	-9	26.6	-11	34.9	-13	43.0
8.0	-2	13.1	-6	16.3	-10	23.4	-11	31.1	-14	37.8			

付表 2.17 2.9t 縦型, 充填時組成 C_3H_8 : 90mol%, 地中温度: $5^{\circ}C$, 充填時液温: $5^{\circ}C$

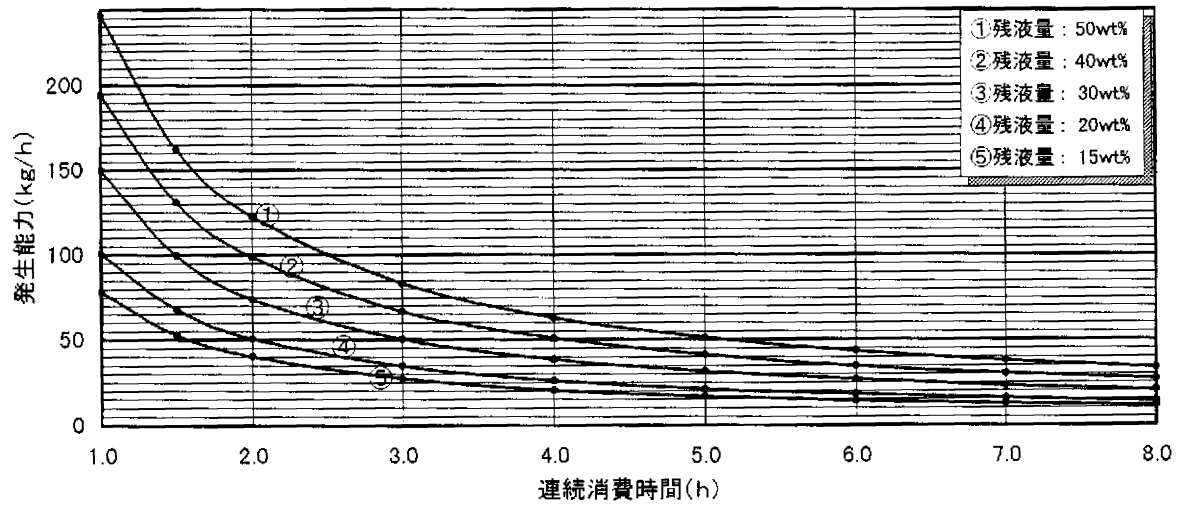
充填時液相 プロパン分 (mol%)	地中 温度 ($^{\circ}C$)	充填 液温 ($^{\circ}C$)	連続消 費時間 (h)	残液量15wt%		残液量20wt%		残液量30wt%		残液量40wt%		残液量50wt%	
				開始 ($^{\circ}C$)	発生能力 (kg/h)	開始 ($^{\circ}C$)	発生能力 (kg/h)	開始 ($^{\circ}C$)	発生能力 (kg/h)	開始 ($^{\circ}C$)	発生能力 (kg/h)	開始 ($^{\circ}C$)	発生能力 (kg/h)
90	5	5	1.0	-2	78.2	-5	100.6	-7	149.6	-11	194.3	-13	241.6
			1.5	-2	52.8	-5	67.8	-8	99.7	-11	130.7	-13	162.4
			2.0	-2	40.1	-6	50.6	-10	73.9	-11	98.9	-13	122.8
			3.0	-2	27.3	-6	34.6	-10	50.2	-12	66.6	-13	83.2
			4.0	-3	20.5	-7	26.0	-10	38.4	-12	50.8	-14	63.0
			5.0	-3	16.8	-7	21.2	-10	31.3	-12	41.3	-14	51.2
			6.0	-3	14.3	-7	18.1	-10	26.6	-13	34.7	-14	43.3
			7.0	-3	12.6	-7	15.8	-11	22.9	-13	30.2	-14	37.7
8.0	-3	11.2	-7	14.1	-11	20.4	-13	26.9	-14	33.5			

付表 2.18 2.9t 縦型, 充填時組成 C_3H_8 : 90mol%, 地中温度: $0^{\circ}C$, 充填時液温: $0^{\circ}C$

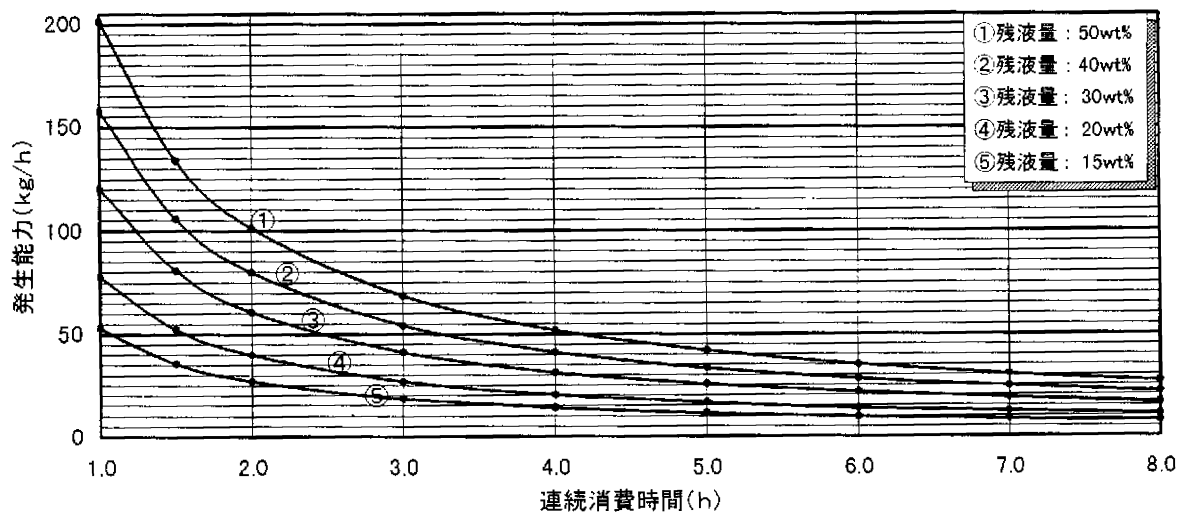
充填時液相 プロパン分 (mol%)	地中 温度 ($^{\circ}C$)	充填 液温 ($^{\circ}C$)	連続消 費時間 (h)	残液量15wt%		残液量20wt%		残液量30wt%		残液量40wt%		残液量50wt%	
				開始 ($^{\circ}C$)	発生能力 (kg/h)	開始 ($^{\circ}C$)	発生能力 (kg/h)	開始 ($^{\circ}C$)	発生能力 (kg/h)	開始 ($^{\circ}C$)	発生能力 (kg/h)	開始 ($^{\circ}C$)	発生能力 (kg/h)
90	0	0	1.0	-12	53.1	-11	77.8	-13	120.3	-18	157.7	-18	201.3
			1.5	-12	35.7	-11	52.4	-13	80.9	-18	105.8	-19	134.1
			2.0	-12	27.0	-11	39.7	-14	60.5	-18	79.9	-19	101.2
			3.0	-12	18.3	-11	26.9	-14	41.0	-18	54.0	-19	68.3
			4.0	-12	14.0	-12	20.2	-14	31.3	-18	41.0	-19	51.9
			5.0	-12	11.4	-12	16.4	-14	25.4	-18	33.2	-19	42.0
			6.0	-12	9.7	-12	13.9	-14	21.5	-18	28.1	-20	35.0
			7.0	-12	8.4	-12	12.2	-14	18.8	-18	24.4	-20	30.3
8.0	-12	7.5	-12	10.8	-15	16.4	-18	21.6	-20	26.8			



付図 2.16 2.9t 縦型, 充填時組成 C_3H_8 : 90mol%, 地中温度: 10°C, 充填時温度: 10°C



付図 2.17 2.9t 縦型, 充填時組成 C_3H_8 : 90mol%, 地中温度: 5°C, 充填時温度: 5°C



付図 2.18 2.9t 縦型, 充填時組成 C_3H_8 : 90mol%, 地中温度: 0°C, 充填時温度: 0°C